

## ДВОЙНОЕ ЛУЧЕПРЕЛОМЛЕНИЕ (ПОВОРОТ СПИНА И СПИНОВЫЙ ДИХРОИЗМ) ДЕЙТРОНОВ ВЫСОКОЙ ЭНЕРГИИ

*В. Г. Барышевский, А. А. Ровба<sup>1</sup>*

Институт ядерных проблем Белорусского государственного университета, Минск

Явление двойного лучепреломления (поворот спина и спиновый дихроизм) дейтронов большой энергии является макроскопическим квантовым эффектом, аналогичным известному в оптике эффекту двойного лучепреломления. В настоящее время спиновый дихроизм обнаружен экспериментально. В работе рассматривается вклад взаимодействия электрического квадрупольного момента дейтрана с электрическим полем ядра в эффект спинового дихроизма. Эффект чувствителен к поведению волновых функций основного состояния дейтрана на малых расстояниях.

The phenomenon of birefringence (spin rotation and spin dichroism) of high-energy deuterons, currently observed in experiments, is the macroscopic quantum effect similar to the birefringence effect known in optics. This paper considers the contribution coming to the spin dichroism effect from the interaction of deuteron electric quadrupole moment and nuclear electric field. The effect proves to be responsive to the behavior of deuteron ground state wave functions at a small distance.

PACS: 13.75.Cs

### ВВЕДЕНИЕ

Квазиоптический эффект двулучепреломления частиц, обладающих спином  $S \geq 1$ , существование которого было предсказано в работах [1, 2], в отличие от фотонов, масса покоя которых равна нулю, существует даже в однородной изотропной среде. Эффект обусловлен внутренней анизотропией, которой обладают частицы со спином  $S \geq 1$  (в отличие от частиц со спином 0 и  $1/2$ ).

Пусть  $M$  — магнитное квантовое число дейтрана. Тогда показатель преломления в состоянии  $M$  записывается следующим образом [1, 2]:

$$n_M^2 = 1 + \frac{4\pi\rho}{k^2} f_M(0), \quad f_M(0) = d_0 + d_1 M^2. \quad (1)$$

где  $n$  — показатель преломления;  $\rho$  — число рассеивателей в единице объема;  $f(0)$  — амплитуда упругого когерентного рассеяния дейтрана на угол ноль;  $d_0$  и  $d_1$  — не зависящая и зависящая от спина часть амплитуды соответственно.

---

<sup>1</sup>E-mail: rouba@inp.bsu.by

Так же как и в оптике света, в квазиоптическом эффекте двулучепреломления помимо когерентного преобразования поляризации частицы (поворота вектора поляризации) возникает и эффект *спинового дихроизма* (различие в поглощении дейtronов в состояниях с  $M = \pm 1$  и  $M = 0$ ), причем эффект спинового дихроизма приводит к возникновению тензорной поляризации у первоначально *неполяризованного* дейтронного пучка, прошедшего через *неполяризованную* мишень [1–4]. Впервые эффект спинового дихроизма дейtronов был обнаружен для пучка с энергией 5–20 МэВ, проходящего через углеродные мишени [5]. Позже на нуклotronе-М ОИЯИ эффект был также обнаружен для дейtronов с импульсом 5 ГэВ/с [6, 7].

## СПИНОВЫЙ ДИХРОИЗМ И ТЕНЗОРНАЯ ПОЛЯРИЗАЦИЯ ДЕЙТРОНОВ

Эффект спинового дихроизма состоит в том, что коэффициент поглощения дейtronов в спиновом состоянии, характеризующемся магнитным квантовым числом  $M = \pm 1$  (ось квантования направлена вдоль импульса дейтрана), не равен коэффициенту поглощения в состоянии с  $M = 0$ . Как следствие, при прохождении через мишень пучка, состоящего, например, из дейtronов в состоянии  $M = \pm 1$ , интенсивность пучка в мишени будет меняться следующим образом:  $I_{\pm 1}(z) = I_{\pm 1}^0 e^{-\sigma_{\pm 1}\rho z}$ , где  $I_{\pm 1}^0$  — интенсивность пучка до мишени,  $\sigma_{\pm 1}$  — полное сечение рассеяния дейtronов в состоянии с  $M = \pm 1$ ,  $z$  — проходимый в мишени путь. При прохождении через мишень пучка дейtronов в состоянии  $M = 0$  интенсивность изменяется согласно соотношению  $I_0(z) = I_0^0 e^{-\sigma_0\rho z}$ , где  $I_0^0$  — интенсивность пучка до мишени,  $\sigma_0$  — полное сечение рассеяния дейtronов в состоянии с  $M = 0$ .

Рассмотрим прохождение неполяризованного дейтронного пучка через мишень. Неполяризованный пучок можно представить как сумму трех пучков с равными интенсивностями:  $I = I_{-1}^0 + I_0^0 + I_{+1}^0$ ,  $I_{\pm 1}^0 = I_0^0 = I/3$ . С учетом того, что в реальном эксперименте величина  $\sigma_{\pm 1,0}\rho z \ll 1$ , изменение интенсивности каждого пучка в мишени представимо в виде  $I_{\pm 1}(z) = I(1 - \sigma_{\pm 1}\rho z)/3$  и  $I_0(z) = I(1 - \sigma_0\rho z)/3$ .

Спиновый дихроизм можно охарактеризовать величиной

$$D = \frac{I_{\pm 1}(z) - I_0(z)}{I_{\pm 1}(z) + I_0(z)} \approx (\sigma_0 - \sigma_{\pm 1}) \rho z / 2. \quad (2)$$

Из выражения для амплитуды (1) и оптической теоремы вытекает равенство  $\sigma_0 - \sigma_{\pm 1} = -4\pi \text{Im}(d_1)/k$ , где  $k$  — волновое число дейтрана. Как следствие, выражение (2) можно записать следующим образом:

$$D \approx (\sigma_0 - \sigma_{\pm 1}) \rho z / 2 = -2\pi \rho z \text{Im}(d_1)/k = -2\pi N_a L \text{Im}(d_1)/k M_r, \quad (3)$$

где  $N_a$  — число Авогадро;  $L$  — толщина мишени в г/см<sup>2</sup>;  $M_r$  — молярная масса вещества мишени.

Тензорная поляризация пучка определяется согласно [8] выражением  $p_{zz}(z) = (I_1(z) + I_{-1}(z) - 2I_0(z)) / (I_1(z) + I_{-1}(z) + I_0(z))$ . Отсюда имеем, что после прохождения в мишени пути  $z$  первоначально неполяризованный пучок ( $p_{zz} = 0, I_{\pm 1} = I_0$ )

приобретает тензорную поляризацию:

$$\begin{aligned} p_{zz}(z) &= \frac{I_{-1}(z) + I_{+1}(z) - 2I_0(z)}{I_{-1}(z) + I_0(z) + I_{+1}(z)} \approx \\ &\approx 2(\sigma_0 - \sigma_{\pm 1})\rho z / 3 = -8\pi\rho z \operatorname{Im}(d_1)/3k = -8\pi N_a L \operatorname{Im}(d_1)/3kM_r. \end{aligned} \quad (4)$$

Из выражений (2)–(4) вытекает связь между величиной спинового дихроизма дейтронов и величиной приобретенной тензорной поляризации:  $p_{zz} \approx 4D/3$ .

Отметим, что согласно [1,2]  $\operatorname{Re}(d_1)$  определяет угол поворота плоскости поляризации дейтронов:  $\vartheta = 2\pi N_a L \operatorname{Re}(d_1)/kM_r$ .

### АМПЛИТУДА УПРУГОГО КОГЕРЕНТНОГО РАССЕЯНИЯ НА УГОЛ НОЛЬ ДЕЙТРОНА НА ЛЕГКИХ ЯДРАХ

Для описания эффекта двулучепреломления необходимо определить амплитуды упругого рассеяния дейтрана  $f_{\pm 1}(0)$  и  $f_0(0)$  соответственно в состояниях с  $M = \pm 1$  и  $M = 0$ . Гамильтониан  $\hat{H}$ , описывающий взаимодействие дейтрана с ядром, может быть записан в виде

$$\hat{H} = \hat{H}_d(\mathbf{r}_p, \mathbf{r}_n) + \hat{H}_N(\{\mathbf{x}_i\}) + V_{dN}(\mathbf{r}_p, \mathbf{r}_n, \{\mathbf{x}_i\}), \quad (5)$$

где  $\hat{H}_d$  — гамильтониан дейтрана;  $\mathbf{r}_p(\mathbf{r}_n)$  — координата протона (нейтрана) в составе дейтрана относительно центра ядра мишени;  $\hat{H}_N$  — гамильтониан ядра;  $\{\mathbf{x}_i\}$  — координаты нуклонов в составе ядра относительно центра ядра;  $V_{dN}$  — потенциал взаимодействия дейтрана с ядром, включающий в себя ядерное и кулоновское взаимодействие.

Пусть  $\mathbf{R}$  — координата центра массы дейтрана, а  $\mathbf{r} = (\mathbf{r}_p - \mathbf{r}_n)/2$ . Тогда (5) записывается следующим образом:

$$\hat{H} = -\frac{\hbar^2}{2m_d}\Delta(\mathbf{R}) + \hat{H}_d(\mathbf{r}) + \hat{H}_N(\{\mathbf{x}_i\}) + V_{dN}^N(\mathbf{R}, \mathbf{r}, \{\mathbf{x}_i\}) + V_{dN}^C(\mathbf{R}, \mathbf{r}, \{\mathbf{x}_i\}), \quad (6)$$

где  $V_{dN}^N$  и  $V_{dN}^C$  — потенциалы ядерного и кулоновского взаимодействия дейтрана с ядром соответственно.

Будем рассматривать рассеяние дейтранов с энергией, превышающей энергию связи дейтрана  $\varepsilon = 2,225$  МэВ, и используем далее импульсное приближение. В этом приближении можно пренебречь энергией связи дейтрана, т. е. пренебречь слагаемым  $\hat{H}_d(\mathbf{r})$  в гамильтониане (6). В результате гамильтониан (6) преобразуется к виду [5]

$$\hat{H} = -\frac{\hbar^2}{2m_D}\Delta(\mathbf{R}) + V_d(\mathbf{R}, \mathbf{r}) + \hat{H}_N(\{\mathbf{x}_i\}), \quad (7)$$

где  $V_d(\mathbf{R}, \mathbf{r}) = V_p(\mathbf{R}+\mathbf{r}) + V_n(\mathbf{R}-\mathbf{r}) + V_C(\mathbf{R}+\mathbf{r})$  — потенциальная энергия взаимодействия дейтрана с ядром;  $V_p$  и  $V_n$  — потенциальная энергия ядерного взаимодействия протона и нейтрана с ядром,  $V_C$  — потенциальная энергия кулоновского взаимодействия дейтрана с ядром.

Таким образом, задача определения амплитуды рассеяния преобразуется в задачу рассеяния бесструктурной частицы с массой дейтрана на ядре. В этом случае координата  $\mathbf{r}$

выступает в роли параметра. Поэтому соотношение, полученное для амплитуды рассеяния, должно быть далее усреднено по этому параметру с помощью волновой функции основного состояния дейтрона. Амплитуда упругого когерентного рассеяния вперед представима в виде [9]

$$f(0) = \frac{k}{2\pi i} \int \left( e^{i\chi_D(\mathbf{b}, \mathbf{r})} - 1 \right) d^2 b |\varphi(\mathbf{r})|^2 d^3 \mathbf{r}, \quad (8)$$

где фаза  $\chi_D$  имеет вид

$$\chi_D = \chi_p + \chi_n + \chi_C = -\frac{1}{\hbar v} \int (V_p(\mathbf{b}, z, \mathbf{r}_\perp) + V_n(\mathbf{b}, z, \mathbf{r}_\perp) + V_C(\mathbf{b}, z, \mathbf{r}_\perp)) dz, \quad (9)$$

а  $\mathbf{b} = \mathbf{R}_\perp$  — поперечная координата центра масс дейтрона  $\mathbf{r}_\perp$  — перпендикулярная к импульсу дейтрона составляющая  $\mathbf{r}$ ,  $v$  — скорость дейтрона. Волновая функция основного состояния  $\phi(\mathbf{r})$  различна для спиновых состояний дейтрона  $M = \pm 1$  и  $M = 0$ .

Строго говоря, фаза  $\chi_D$ , записанная в виде (9), соответствует случаю, когда энергии дейтронов значительно выше потенциала взаимодействия с ядром. В рассматриваемом нами случае энергий выражение (9) для фазы справедливо во всем интервале  $\mathbf{r}_\perp$  за исключением центральной области ядра. Однако, как показал соответствующий анализ, основной вклад в изучаемый эффект дает рассеяние от периферии ядра. Вклад же центральной части ядра в изучаемый эффект составляет около 20 %. Поэтому в дальнейшем, при рассмотрении спинового дихроизма будем использовать (9) для всей области ядра без дополнительных поправок. Тогда при подстановке (9) в (8) получим необходимую для описания эффекта амплитуду упругого когерентного рассеяния на угол ноль:

$$\begin{aligned} f(0) = & \frac{k}{\pi} \int [t_p(\mathbf{b} + \mathbf{r}_\perp) + t_n(\mathbf{b} - \mathbf{r}_\perp) + t_C(\mathbf{b} + \mathbf{r}_\perp) + 2it_p(\mathbf{b} + \mathbf{r}_\perp) t_C(\mathbf{b} + \mathbf{r}_\perp) + \\ & + 2it_n(\mathbf{b} - \mathbf{r}_\perp) t_C(\mathbf{b} + \mathbf{r}_\perp) + 2it_p(\mathbf{b} + \mathbf{r}_\perp) t_n(\mathbf{b} - \mathbf{r}_\perp) - \\ & - 4t_p(\mathbf{b} + \mathbf{r}_\perp) t_n(\mathbf{b} - \mathbf{r}_\perp) t_C(\mathbf{b} + \mathbf{r}_\perp)] |\phi(\mathbf{r})|^2 d^2 b d^3 r, \end{aligned} \quad (10)$$

где  $t_{n(p)(C)} = (\exp(i\chi_{n(p)(C)}) - 1)/2i$ .

Введем новые переменные  $\xi = \mathbf{b} + \mathbf{r}_\perp$  и  $\eta = \mathbf{b} - \mathbf{r}_\perp$ . В рассматриваемом далее рассеянии дейтрона на легких ядрах характерный радиус дейтрона больше радиуса ядра мишени. Поэтому, для оценки эффектов, при интегрировании можно пренебречь изменением волновой функции дейтрона в области ядра и вынести ее из-под знака интегрирования. В результате для зависящей от спина части амплитуды получим

$$\begin{aligned} d_1 = & \frac{3i}{4\pi} (F_n(0) + F_p(0)) \int t_C(\xi) \frac{w(\sqrt{\xi^2 + z_d^2})}{\xi^2 + z_d^2} \times \\ & \times \left( \sqrt{2}u\left(\sqrt{\xi^2 + z_d^2}\right) - \frac{w(\sqrt{\xi^2 + z_d^2})}{2} \right) \frac{\xi^2 - 2z_d^2}{\xi^2 + z_d^2} d^2 \xi dz_d + \frac{3iG}{2k} F_p(0) F_n(0) - \\ & - \frac{3kG}{\pi^2} \int t_p(\xi) t_n(\eta) t_C(\xi) d^2 \xi d^2 \eta, \end{aligned} \quad (11)$$

$$G = \int_0^\infty \frac{w(r)}{r^2} \left( \sqrt{2}u(r) - \frac{w(r)}{2} \right) dr = \frac{8\pi}{3} \int (|\varphi_{\pm 1}(0, z_d)|^2 - |\varphi_0(0, z_d)|^2) dz_d,$$

где  $F_{n(p)(C)}(0) = \frac{m_D}{m_{n(p)}} f_{n(p)(C)}(0) = \frac{k}{\pi} \int t_{n(p)(C)}(\boldsymbol{\eta}) d^2\eta$  — амплитуда рассеяния вперед нейтрона (протона) на ядре, обусловленная ядерным (кулоновским) взаимодействием;  $u(r)$  — радиальная волновая функция  $S$  — состояния дейтрана;  $w(r)$  — радиальная волновая функция  $D$  — состояния дейтрана.

В выражении (11) первое слагаемое в  $d_1$  описывает вклад интерференции сильного взаимодействия нейтрона и кулоновского взаимодействия протона с ядром углерода, второе слагаемое — сильного взаимодействия нейтрона и протона с ядром углерода, третье слагаемые — сильного взаимодействия нейтрона и протона, а также кулоновского взаимодействия протона с ядром углерода.

Более подробно влияние интерференции кулоновского и ядерного взаимодействий на величину эффекта двойного лучепреломления рассмотрено в работе [10]. Отметим лишь, что для дейтранов с энергией 5–20 МэВ, проходящих через углеродную мишень, данная интерференция приводит к изменению знака спинового дихроизма и направления поворота вектора поляризации пучка. Подобное поведение спинового дихроизма наблюдалось в экспериментах по обнаружению данного эффекта в области энергий 5–20 МэВ [5].

Обратим внимание на два момента, которые далее будут исследованы более детально. Во-первых, выражение (11) содержит только вклады от взаимного перерассеяния нуклонов дейтрана на ядре [11], так как усреднение однократного рассеяния нуклонов на ядре по функции  $|\phi_{\pm 1}(\mathbf{r})|^2 - |\phi_0(\mathbf{r})|^2$  дает ноль. Вследствие наличия  $D$ -волны в волновой функции основного состояния дейтрана распределение заряда в дейтране не является сферически-симметричным, что обуславливает наличие у него квадрупольного электрического момента. Более того, распределение заряда отличается для дейтрана в состоянии с  $M = \pm 1$  и  $M = 0$ . В результате данной асимметрии можно ожидать, что амплитуда рассеяния дейтрана на кулоновском потенциале различна для дейтранов в состоянии с  $M = \pm 1$  и  $M = 0$ , что могло бы привести к дополнительному по сравнению с сильным взаимодействием вкладу в эффект спинового дихроизма. Во-вторых, как видно из (11), в рассматриваемой модели эффект двуплучепреломления дейтранов зависит от параметра  $G$ . Данный параметр зависит от расстояния между нуклонами дейтрана как  $r^{-2}$ , что обуславливает чувствительность параметра  $G$  и, как следствие, эффекта двуплучепреломления к волновой функции основного состояния дейтрана на малых расстояниях. Однако именно эта область вызывает проблемы для теоретического описания дейтрана [12, 13].

### ВКЛАД ВЗАИМОДЕЙСТВИЯ ЭЛЕКТРИЧЕСКОГО КВАДРУПОЛЬНОГО МОМЕНТА ДЕЙТРАНА С ЭЛЕКТРИЧЕСКИМ ПОЛЕМ ЯДРА В ЭФФЕКТ СПИНОВОГО ДИХРОИЗМА

Согласно выражению (11) амплитуду кулоновского рассеяния дейтрана на ядре на угол ноль можно записать в виде

$$f^C(0) = \frac{k}{2\pi i} \int \left( \exp \left( -\frac{i}{\hbar v} \int V_C(\mathbf{R} + \mathbf{r}) dz \right) - 1 \right) d^2 b |\phi(\mathbf{r})|^2 d^3 r. \quad (12)$$

При медленном изменении кулоновского потенциала ядра в окрестности  $\mathbf{R}$  потенциал можно разложить в ряд Тейлора [14]:

$$\begin{aligned}\Phi(\mathbf{R} + \mathbf{r}) \simeq \Phi(\mathbf{R}) - \mathbf{r} \mathbf{E}(\mathbf{R}) - \frac{1}{6} \sum \sum Q_{ij} \frac{\partial^2 \Phi}{\partial R_i \partial R_j}(\mathbf{R}) = \\ = \Phi_C(\mathbf{R}) + \Phi_D(\mathbf{R}, \mathbf{r}) + \Phi_T(\mathbf{R}, \mathbf{r}),\end{aligned}\quad (13)$$

где  $E(\mathbf{R})$  — напряженность электрического поля в точке  $\mathbf{R}$ ;  $Q_{ij} = (3r_i r_j - r^2 \delta_{ij})$ ;  $\Phi_C(\mathbf{R}, \mathbf{r})$ ,  $\Phi_D(\mathbf{R}, \mathbf{r})$ ,  $\Phi_T(\mathbf{R}, \mathbf{r})$  — потенциал центрального, дипольного и тензорного взаимодействия ядра с протоном дейтраном.

Вследствие короткодействия потенциалов дипольного и тензорного взаимодействия по сравнению с центральным потенциалом, а также с учетом того, что  $\left| -\frac{iZ_d}{\hbar v} \int (\Phi_D(\mathbf{R}, \mathbf{r}) + \Phi_T(\mathbf{R}, \mathbf{r})) dz \right| \ll 1$  ( $Z_d$  — заряд дейтрана, выраженный в зарядах протона), формулу (12) можно записать в следующем виде:

$$\begin{aligned}f^C(0) \simeq \frac{k}{2\pi i} \int \left[ \exp \left( -\frac{iZ_d}{\hbar v} \int \Phi_C(b, z) dz \right) \times \right. \\ \times \left( 1 - \frac{iZ_d}{\hbar v} \int (\Phi_D(\mathbf{R}, \mathbf{r}) + \Phi_T(\mathbf{R}, \mathbf{r})) |\phi(\mathbf{r})|^2 d^3 r dz \right) - 1 \left. \right] d^2 b = \\ = \frac{k}{2\pi i} \int \left[ \exp \left( -\frac{iZ_d}{\hbar v} \int \Phi_C(b, z) dz \right) \left( 1 - \frac{i}{\hbar v} \int (V_D(\mathbf{R}) + V_T(\mathbf{R})) dz \right) - 1 \right] d^2 b,\end{aligned}\quad (14)$$

где  $V_D(\mathbf{R}) = \int Z_d \mathbf{r} \mathbf{E}(\mathbf{R}) |\phi(\mathbf{r})|^2 d^3 r = l_d \mathbf{E}(\mathbf{R})$  — энергия кулоновского взаимодействия ядра с ЭДМ дейтрана  $l_d$  (в силу того, что верхняя оценка величины ЭДМ дейтрана составляет порядка  $10^{-24}$  е·фм [15], далее будем пренебречь данным взаимодействием);  $V_T(\mathbf{R}) = \frac{1}{6} \int Z_d |\phi(\mathbf{r})|^2 \sum_i \sum_j Q_{ij} \frac{\partial^2 \Phi}{\partial R_i \partial R_j}(\mathbf{R}) d^3 r$  — вклад в энергию кулоновского взаимодействия, обусловленный несферическим распределением заряда в дейтране. В результате для амплитуды получим

$$f^C(0) \simeq \frac{k}{2\pi i} \int \left[ \exp \left( -\frac{iZ_d}{\hbar v} \int \Phi_C(b, z) dz \right) \left( 1 - \frac{i}{6\hbar v} \int Q_{ii}^d \frac{\partial^2 \Phi}{\partial R_i \partial R_i}(\mathbf{R}) dz \right) - 1 \right] d^2 b,\quad (15)$$

где  $Q_{ii}^d = \int Z_d Q_{ii} |\phi(\mathbf{r})|^2 d^3 r$ , а по повторяющимся индексам производится суммирование.

При получении (15) было учтено, что плотность распределения заряда в дейтране (плотность вероятности нахождения протона в точке  $\mathbf{r}$ ) задается квадратом модуля волновой функции дейтрана в основном состоянии, вследствие чего после усреднения по ней величины  $Q_{ij \neq i}^d = 0$ .

В силу того, что  $\sum_i Q_{ii}^d = 0$ , а плотность распределения заряда аксиально-симметричная, получим, что  $Q_{xx}^d = Q_{yy}^d = -\frac{1}{2} Q_{zz}^d$ . В связи с тем, что плотности распределения заряда  $|\phi_{\pm 1}(\mathbf{r})|^2$  и  $|\phi_0(\mathbf{r})|^2$  для дейтрана соответственно в состоянии с  $M = \pm 1$  и  $M = 0$  различны, различными будут и компоненты тензора  $Q_{ii}^d$  для дейтрана в различных состояниях:  $Q_{ii}^{\pm 1} = \int |\phi_{\pm 1}(\mathbf{r})|^2 Q_{ii} d^3 r$  и  $Q_{ii}^0 = \int |\phi_0(\mathbf{r})|^2 Q_{ii} d^3 r$ . Как известно, квадрупольный

момент дейтрана определяется как среднее значение составляющей тензора  $Q_{zz}$  в состоянии с  $M = J$  ( $J$  — полный момент дейтрана) [16]:  $Q_{zz}^{\pm 1} = \int |\phi_{\pm 1}(\mathbf{r})|^2 Q_{zz} d^3 r = Q_{zz}^{\pm 1} = 0,29 \text{ фм}^2$  [13]. Для дейтрана в состоянии с  $M = 0$   $Q_{zz}^0 = -2Q_{zz}^{\pm 1}$ . В результате для зависящей от спина части амплитуды рассеяния вперед получим

$$d_1^C(0) \simeq -\frac{kQ_{ii}^d}{4\pi\hbar^2} \exp\left(-\frac{iZ_d}{\hbar v} \int_{-\infty}^{\infty} \Phi_C(0, z) dz\right) \int \frac{\partial^2 \Phi}{\partial R_i \partial R_i}(\mathbf{R}) d^3 R. \quad (16)$$

Для дальнейшего рассмотрения воспользуемся экранированным кулоновским потенциалом  $\Phi(R) = \frac{C \cdot Z_N}{R} e^{-\eta R}$ , где  $C \sim 1,4 \text{ МэВ} \cdot \text{фм}$ ;  $\eta = \frac{\sqrt[3]{Z_N}}{5,3 \cdot 10^4} \text{ фм}^{-1}$  — параметр экранировки;  $Z_N$  — заряд ядра, выраженный в зарядах протона. В области действия тензорных сил экранировкой потенциала будем пренебрегать. Подставив потенциал в (16), получим

$$d_1^C(0) \simeq -\frac{3kCQ_{zz}^{\pm 1}}{4\hbar^2} \exp\left(-\frac{iZ_d}{\hbar v} \int_{-\infty}^{\infty} \Phi_C(z) dz\right) \int Z_N \left(\frac{3z^2}{R^5} - \frac{1}{R^3}\right) d^2 b dz. \quad (17)$$

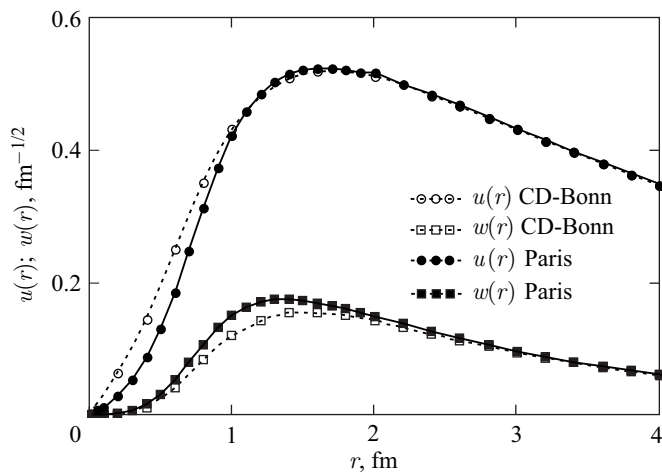
Если рассматривать потенциал  $\Phi(R)$  как потенциал точечной частицы, то интеграл по объему в (17) будет равен нулю. Реальное же ядро имеет конечный размер, и в области малых расстояний необходимо учитывать влияние распределения заряда ядра на его потенциал. В качестве примера рассмотрим ядро углерода. Пусть заряд распределен в ядре равномерно в интервале  $R = 0\text{--}3 \text{ фм}$ . В результате для этой области  $Q_{ii}^d \frac{\partial^2 \Phi}{\partial R_i \partial R_i}(\mathbf{R}) \sim Q_{ii}^d \frac{\partial^2}{\partial R_i \partial R_i} R^2 \sim Q_{xx}^d + Q_{yy}^d + Q_{zz}^d = 0$ , т. е. амплитуда (16) будет определяться областью пространства вне ядра ( $R > 3 \text{ фм}$ ). Полученное значение мнимой части амплитуды упругого когерентного рассеяния на угол ноль для дейтрана с энергией 20 МэВ составляет  $\sim -0,06 \text{ фм}$ . Применив оптическую теорему, получим  $\sigma_{\pm 1} - \sigma_0 \approx -5 \text{ мб}$ . Для углеродной мишени толщиной  $0,1 \text{ г/см}^2$  величина приобретенной тензорной поляризации составляет  $\sim 10^{-5}$ , что на три порядка меньше вкладов, обусловленных ядерным и интерференцией ядерного и кулоновского взаимодействий [10]. Для тяжелых ядер вклад возрастает.

### ВЛИЯНИЕ ПОВЕДЕНИЯ ВОЛНОВЫХ ФУНКЦИЙ ОСНОВНОГО СОСТОЯНИЯ ДЕЙТРОНА НА МАЛЫХ РАССТОЯНИЯХ НА ВЕЛИЧИНУ ЭФФЕКТА ДВУЛУЧПРЕЛОМЛЕНИЯ ДЕЙТРОНОВ

В настоящее время существует множество моделей, описывающих потенциал ядерного нуклон-нуклонного взаимодействия, на основе которых можно построить волновые функции основного состояния дейтрана. Полученные на основе различных моделей волновые функции ведут себя одинаково на расстояниях больше 2–2,5 фм [12,13]. Однако на малых расстояниях различные модели дают различное поведение волновых функций. Эффект двулучпреломления дейтранов, в частности спиновый дихроизм дейтранов, чувствителен к поведению волновых функций дейтрана на малых расстояниях, что позволяет использовать этот эффект для проверки различных моделей потенциалов нуклон-нуклонного взаимодействия.

Из выражения (11) видно, что разница амплитуд рассеяния вперед дейтрона в различных спиновых состояниях, а вместе с ней и величина спинового дихроизма дейтронов и тензорной поляризации зависит от функции  $(2\sqrt{2}u(r)w(r) - w(r)^2)r^{-2}$ . На малых расстояниях, где параметр  $r^{-2}$  принимает большие значения, величина приведенной функции чувствительна к значениям радиальных функций  $u(r)$  и  $w(r)$ .

На основе выражений (4) и (11) можно определить величину тензорной поляризации (спинового дихроизма) дейтронов для волновых функций основного состояния дейтрона, полученных в различных моделях нуклон-нуклонного взаимодействия. Для сравнения были рассмотрены радиальные функции, полученные на основе CD-боннского [13] и парижского [17] потенциалов взаимодействия (рисунок).



Волновые функции основного состояния дейтрона, полученные при использовании CD-боннского и парижского потенциалов нуклон-нуклонного взаимодействия

Как видно из рисунка, модели дают различное поведение радиальных функций дейтрона на расстояниях менее 2,5 фм. Вычислим тензорную поляризацию дейтронного пучка с применением этих радиальных функций. Произведем оценку для дейтронов с энергией 1,6 ГэВ (импульс порядка 3 ГэВ/с). Для данной энергии можно пренебречь влиянием кулоновского взаимодействия. Для оценки, в качестве потенциала сильного нуклон-ядерного взаимодействия, используем оптический потенциал Вудса–Саксона для нуклонов с энергией 796 МэВ [18]:

$$V_n(R) = V_p(R) = \frac{8,1 \text{ МэВ} - i \cdot 61,41 \text{ МэВ}}{1 + \exp((r - 2,27 \text{ фм}) / 0,4587 \text{ фм})}. \quad (18)$$

Численный расчет показывает, что разница сечений  $\sigma_{\pm 1} - \sigma_0$  для дейтронов с энергией порядка 1,6 ГэВ для радиальных волновых функций дейтрона в CD-боннской модели составляет 8,8 мб. Для парижской модели аналогичный расчет дает значение 9,2 мб. Величина тензорной поляризации дейтронного пучка, прошедшего через неполяризованную углеродную мишень толщиной 150 г/см<sup>2</sup>, в первом случае составляет  $4,4 \cdot 10^{-2}$ , а во втором случае —  $4,6 \cdot 10^{-2}$ , т. е. разница в величине эффекта составляет порядка 5 %. Таким

образом, используя эффект спинового дихроизма дейтронов, можно экспериментально сравнивать поведение волновых функций основного состояния дейтрана на малых расстояниях, предсказываемых различными моделями нуклон-нуклонного взаимодействия при условии получения высокого значения спинового дихроизма (толстые мишени, внутренняя мишень в накопительном кольце).

## ЗАКЛЮЧЕНИЕ

Анализ эффекта двойного лучепреломления дейтронов в эйкональном приближении показывает, что в области энергий 20 МэВ, в которой проводились первые эксперименты по обнаружению эффекта спинового дихроизма дейтронов [5], вклад от взаимодействия электрического квадрупольного момента дейтрана с электрическим полем ядра заметно меньше вкладов, обусловленных ядерным и интерференцией ядерного и кулоновского взаимодействий [10].

Вследствие высокой чувствительности эффекта двойного лучепреломления дейтронов к поведению волновых функций основного состояния дейтрана на малых расстояниях данный эффект можно использовать для экспериментальной проверки моделей нуклон-нуклонного взаимодействия, дающих наибольшее расхождение именно в области малых расстояний.

Таким образом, явление двойного лучепреломления дейтронов предоставляет дополнительную возможность изучения трехчастичных взаимодействий. Особенно перспективными в этом направлении видятся эксперименты на высокоэнергетических ускорителях (NICA (нуклотрон-М), COSY, GSI) с использованием внутренних мишеней, а также толстых мишеней на выведенном пучке. К примеру, в экспериментах [6, 7] на нуклотроне-М с выведенным пучком дейтронов с импульсом 5 ГэВ/с были получены значения спинового дихроизма порядка 0,15.

## СПИСОК ЛИТЕРАТУРЫ

1. *Baryshevsky V. G.* Birefringence of Particles (Nuclei, Atoms) of Spin  $S \geq 1$  in Matter // Phys. Lett. A. 1992. V. 171, Nos. 5–6. P. 431–434.
2. *Baryshevsky V. G.* Spin Oscillations of High-Energy Particles (Nuclci) Passing through Matter and the Possibility of Measuring the Spin-Dependent Part of the Amplitude of Zero-Angle Elastic Coherent Scattering // J. Phys. G. 1993. V. 19, No. 2. P. 273–282.
3. *Baryshevsky V. G.* High-Energy Nuclear Optics of Polarized Particles. World Press, 2012. 640 p.
4. *Барышевский В. Г.* Ядерная оптика поляризованных сред. М.: Энергоатомиздат, 1995. 320 с.
5. *Seyfarth H. et al.* Production of a Beam of Tensor-Polarized Deuterons Using a Carbon Target // Phys. Rev. Lett. 2010. V. 104. P. 222501.
6. *Azhgirey L. S. et al.* Observation of Tensor Polarization of Deuteron Beam Traveling through Matter // Phys. Part. Nucl. Lett. 2008. V. 5, No. 5. P. 432–436.
7. *Azhgirey L. S. et al.* Measurement of Tensor Polarization of a Deuteron Beam Passing through Matter // Phys. Part. Nucl. Lett. 2010. V. 7, No. 1. P. 27–32.
8. *Ohlsen Gerald G.* Polarization Transfer and Spin Correlation Experiments in Nuclear Physics // Rep. Prog. Phys. 1972. V. 35. P. 717–801.

9. Ландау Л. Д., Лишинец Е. М. Теоретическая физика: В 10 т. М.: Физматлит, 2001–2005. Т. 3.
10. Baryshevsky V., Rouba A. Influence of Coulomb-Nuclear Interference on the Deuteron Spin Dichroism Phenomenon in a Carbon Target in the Energy Interval 5–20 MeV // Phys. Lett. B. 2010. V. 683, Nos. 2–3. P. 229–234.
11. Барышевский В. Г., Ровба А. А. Двулучепреломление и спиновый дихроизм дейtronов в нуклонной мишени в области энергий 5–20 МэВ // Весці НАН Беларусі. Сер. фізіка-матэм. науку. 2008. Вып. 1. С. 67–73.
12. Платонова М. Н., Кукулин В. И. Описание спин-зависящих наблюдаемых в упругом  $pd$ -рассеянии на основе обобщенной дифракционной модели // ЯФ. 2010. Т. 73, № 1. С. 90–110.
13. Machleidt R. High-Precision, Charge-Dependent Bonn Nucleon–Nucleon Potential // Phys. Rev. C. 2001. V. 63. 024001.
14. Джексон Дж. Классическая электродинамика. М.: Мир, 1965. 703 с.
15. Gotta D. et al. Towards a Facility at COSY to Measure Permanent Electric Dipole Moments // Phys. Procedia. 2011. V. 17. P. 77–82.
16. Ситенко А. Г., Тармаковский В. К. Лекции по теории ядра. М.: Атомиздат, 1972. 352 с.
17. Lacombe M. et al. Parameterization of the Deuteron Wave Function of the Paris  $NN$  Potential // Phys. Lett. B. 1981. V. 101, No. 3. P. 139–140.
18. Faldt G., Ingemarsson A. Elastic Proton–Nucleus Scattering at 800 MeV: A Comparison between the Optical Model and the Glauber Model // J. Phys.: Nucl. Phys. G. 1983. V. 9, No. 3. P. 261–275.

Получено 10 декабря 2015 г.